

我们用磁控溅射技术制备了 18 nm 的 10 层对 Mo/Al 多层膜。俄歇和电镜分析估计了膜层厚度和膜层结构。X 光衍射进行了超晶格特性分析和光性测试。结果表明，我们的设计方案和技术方案基本是可行的。

### 参 考 文 献

- 1 B. L. Henke, *Opt. Eng.*, **25**(8), 937(1986)
- 2 A. M. Saxena, *Acta Cryst.*, **A33**, 807(1977)
- 3 K. P. Lee, *Opt. Commun.*, **37**(3), 39(1981)
- 4 K. P. Lee, *Opt. Commun.*, **42**(3), 195(1982)
- 5 T. W. Barbee, *Appl. Opt.*, **20**(17), 3027(1981)
- 6 P. G. Harper, *Appl. Opt.*, **26**(4), 713(1987)
- 7 D. Windt, *Appl. Opt.*, **27**(2), (1988)

(收稿日期: 1989 年 11 月 22 日)

## 激光场中慢电子与正电子素碰撞的单光子吸收

田之悦 许宗荣

(华西医科大学药学院, 成都, 610041)

### One photon absorption of slow electron colliding with positronium in laser field

Tian Zhiyue, Xu Zongrong

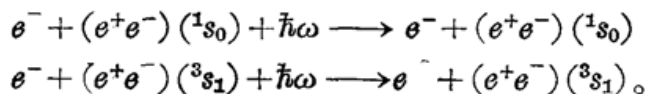
(Huaxi Medical University, Chengdu)

**Abstract:** The one photon absorption of slow electron colliding with positronium in a laser field has been examined and the accurate variational scattering phase shifts have been used to calculate the free-free absorption cross section.

**Key words:** laser, positronium, free-free absorption cross section

正电子素(positronium,  $e^+e^-$ )在空间物理与辐射化学中具有重大的意义<sup>[1]</sup>。最近人们已经在实验室里产生正电子素负离子( $e^+e^-e^-$ )<sup>[2]</sup>它是一个稳定的体系, 研究认为, 正电子素负离子( $p_s^-$ )可能用来产生可控制能量的正电子素( $p_s$ )束。近年来, 对正电子素进行了不少研究, 如文献[3]考察了慢电子与正电子素的弹性散射。

本文研究激光场中慢电子与  $p_s$  的单重态与三重态的单光子吸收过程:



当动量为  $\hbar k_i$  的自由电子经历  $p_s$  产生的势场, 从初态  $i$  跃迁到末态  $f$  吸收光子的截面可由下式确定:

$$d\sigma_{if} = \frac{4\pi^2 e^2}{\mu \omega c} |\langle \beta | \mathbf{p} \cdot \hat{\mathbf{e}}_\omega | \alpha \rangle|^2 \delta(E_f - E_i) d\alpha d\beta, \quad (1)$$

式中  $|\alpha\rangle, |\beta\rangle$  分别为归一化的初态与末态连续波函数, 相应的能量为  $E_i$  和  $E_f$ ,  $E_i = E_p + \epsilon_i + \hbar\omega$ ,  $\epsilon_i = (\hbar k_i)^2/2\mu$ 。 $\mathbf{p}$  为动量,  $\hat{\mathbf{e}}_\omega$  为光子偏振方向。

对入射光子的偏振方向求矩阵元的平均:

$$|\langle\beta|\mathbf{p}\cdot\hat{\mathbf{e}}_\omega|\alpha\rangle|^2 = \frac{1}{3} |\langle\beta|\mathbf{p}|\alpha\rangle|^2 \quad (2)$$

将(2)式代入(1)式, 并对末电子态求和后的截面为

$$d\sigma_i = \frac{4\pi^2 e^2 k_f}{3\mu\hbar\omega c} \left\{ \int d\Omega_f |\langle\beta|\mathbf{p}|\alpha\rangle|^2 \right\} d^3 k_f, \quad (3)$$

由自由-自由吸收截面定义

$$\sigma''(\mathbf{k}_i, \omega) = (2\pi)^3 d\sigma_i / d^3 k_i = \frac{(2\pi)^5 e^2 k_f}{3\mu\hbar^2\omega c} \int d\Omega_f |\langle\beta|\mathbf{p}|\alpha\rangle|^2 \quad (4)$$

以  $\psi_k^{(\pm)}(\mathbf{r})$  表示自由电子在  $p_s$  势场中的初态 (+) 和末态 (-) 波函数,  $V(\mathbf{r})$  为电子与  $p_s$  相互作用势, 则由 Lippmann-Schwinger 方程<sup>[4]</sup>有

$$\psi_k^{(\pm)} = \varphi_k^{(\pm)} + \frac{1}{\epsilon_k \pm i\eta - H_0} V \psi_k^{(\pm)} \quad (5)$$

式中  $\varphi_k$  为 Hamilton 为  $H_0$ 、能量为  $\epsilon_k$  的平面波的本征函数。又由于<sup>[5]</sup>, 则

$$\langle\beta|\mathbf{p}\cdot\hat{\mathbf{e}}_\omega|\alpha\rangle = \frac{i}{\omega} \langle\beta|\hat{\mathbf{e}}_\omega\cdot\nabla V|\alpha\rangle, \quad (6)$$

$$\nabla V = -\frac{1}{i\hbar} [\mathbf{p}H - H\mathbf{p}] \quad (7)$$

所以有

$$\begin{aligned} \langle\beta|\mathbf{p}|\alpha\rangle &= \langle\psi_k^{(-)}|\mathbf{p}|\psi_k^{(+)}\rangle \\ &= \frac{1}{\hbar\omega} \left\{ \hbar\mathbf{k}_i \langle\psi_k^{(-)}|V|\varphi_k^{(+)}\rangle - \hbar\mathbf{k}_f \langle\varphi_k^{(-)}|V|\psi_k^{(+)}\rangle \right. \\ &\quad \left. + \langle\psi_k^{(-)}|V\mathbf{p}\left(\frac{1}{\epsilon_i + i\eta - H_0} - \frac{1}{\epsilon_f + i\eta - H_0}\right)V|\psi_k^{(+)}\rangle \right\}, \end{aligned} \quad (8)$$

由散射振幅的定义

$$f(s, k_i, k_f) = -(2\pi)^2 \frac{\mu}{\hbar^2} \langle\varphi_k^{(-)}|V|\psi_k^{(+)}\rangle = -(2\pi)^2 \frac{\mu}{\hbar^2} \langle\psi_k^{(-)}|V|\varphi_k^{(+)}\rangle, \quad (9)$$

则(8)式成为

$$\begin{aligned} \langle\beta|\mathbf{p}|\alpha\rangle &= -\frac{\hbar}{(2\pi)^2\mu\omega} \left\{ \hbar(\mathbf{k}_i - \mathbf{k}_f) f(s, k_i, k_f) \right. \\ &\quad \left. + \psi_k^{(-)} V \mathbf{p} \left( \frac{1}{\epsilon_i + i\eta - H_0} - \frac{1}{\epsilon_f + i\eta - H_0} \right) V |\psi_k^{(+)}\rangle \right\} \end{aligned} \quad (10)$$

考虑低能电子散射,  $\hbar\omega \ll k_i^2/2$  的情况, 此时  $\epsilon_f \approx \epsilon_i$ , 因而(10)式变为

$$\langle\beta|\mathbf{p}|\alpha\rangle \rightarrow -\frac{\hbar^2}{(2\pi)^2\mu} \cdot \frac{(\mathbf{k}_i - \mathbf{k}_f)}{\omega} f(s_i, k_i, k_f). \quad (11)$$

将上式在  $\bar{s} = (\epsilon_i + \epsilon_f)/2$  附近展开得

$$\langle\beta|\mathbf{p}|\alpha\rangle = -\frac{\hbar^2}{(2\pi)^2\mu} \left\{ \left( \frac{\mathbf{k}_i - \mathbf{k}_f}{\omega} \right) f(\bar{s}, k_i, k_f) - \left( \frac{\mathbf{k}_i - \mathbf{k}_f}{2\bar{s}} \right) f(\bar{s}, k_i, k_f) + O\left(\frac{\hbar\omega}{s}\right)^2 \right\} \quad (12)$$

略去  $O\left(\frac{\hbar\omega}{s}\right)^2$  同阶小量, 则

$$|\langle \beta | p | \alpha \rangle|^2 = \frac{\hbar^4}{(2\pi)^4 \mu^2} \left\{ \frac{(\mathbf{k}_i - \mathbf{k}_f)^2}{\omega^2} f(\bar{s}, k_i, k_f)^2 - \frac{(k_i^2 - k_f^2)}{\omega \bar{s}} \right. \\ \times f(\bar{s}, k_i, k_f)^2 + \left. \frac{(\mathbf{k}_i + \mathbf{k}_f)^2}{4\bar{s}^2} f(\bar{s}, k_i, k_f)^2 \right\}, \quad (13)$$

考虑到  $(\mathbf{k}_i \pm \mathbf{k}_f)^2 = 2(1 \pm \cos \theta) \frac{2\mu\bar{s}}{\hbar}$ ,  $\theta$  为  $k_i$  与  $k_f$  间的夹角, 则可得

$$|\langle \beta | p | \alpha \rangle|^2 = \frac{\hbar \bar{s}}{4\pi^4 \mu \omega} \left[ \left( 1 + \frac{\hbar \omega^2}{4\bar{s}^2} \right) (1 - \cos \theta) f(\bar{s}, \cos \theta)^2 + \frac{\hbar^2 \omega^2}{2\bar{s}^2} \cos \theta \cdot f(\bar{s}, \cos \theta)^2 \right. \\ \left. - \frac{\hbar \omega (\bar{s}_i - \bar{s}_f)}{2\bar{s}^2} f(\bar{s}, \cos \theta)^2 \right], \quad (14)$$

将上式代入(4)式, 整理后得自由-自由跃迁吸收截面公式为

$$\sigma^{ff}(\mathbf{k}_i, \omega) = \frac{16\pi^2 \alpha}{3} \left( \frac{\hbar}{\mu} \right)^3 \frac{k_f}{\omega^3} \left\{ \left( 1 - \frac{\hbar^2 \omega^2}{4\bar{s}^2} \right) \right. \\ \times \sum_{l=0}^{\infty} (l+1) \sin^2 [\delta_l(\bar{s}) - \delta_{l+1}(\bar{s})] \\ \left. + \left( \frac{\hbar \omega}{\bar{s}} \right)^2 \sum_{l=0}^{\infty} (2l+1) \sin^2 \delta_l(\bar{s}) \right\}. \quad (15)$$

式  $\alpha$  中为精细结构常数。此式即为本文用以计算的以分波相移  $\delta_l$  表示的  $f-f$  跃迁吸收截面理论公式。

本文按(15)式计算了入射电子能量为 0.5~5 eV, 激光波长为  $3.39 \mu\text{m}$  条件下, 电子为  $p_s$  的单重态与三重态散射的自由-自由吸收截面。由于已有准确的相移计算结果, 因而分波相移取自文献[3]。本文的计算结果见图 1。与电子与原子碰撞比较, 电子与  $p_s$  的碰撞有较大的自由-自由吸收截面, 这与它有较大的动量转移截面是一致的。

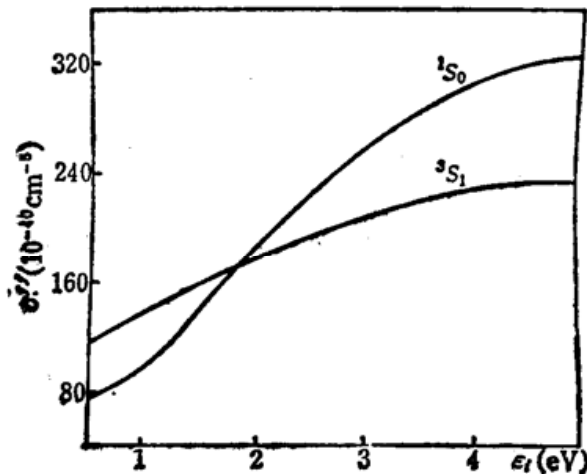


Fig. 1 Free-free absorption cross section of the electron colliding with the singlet and triplet of positronium

## 参 考 文 献

- 1 W. F. Schmidt, *J. Chem. Phys.*, **60**, 998 (1974)
- 2 A. P. Mills, Jr., *Phys. Rev. Lett.*, **46**, 717 (1981)
- 3 A. K. Bhatia et al., *Phys. Scr.*, **A28**, 2523 (1983)

(收稿日期: 1989 年 8 月 3 日)